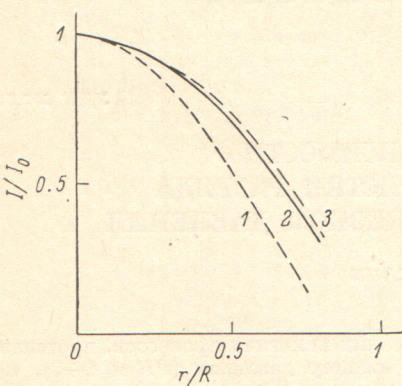


линии подтверждает факт изменения относительного числа быстрых электронов по сечению разряда.

Специфической особенностью разряда низкого давления является изменение плазменных характеристик при включении продольного магнитного поля [3, 4]. Продольное магнитное поле заметно уменьшает поперечную подвижность электронов и переводит разряд в локальный режим, при котором исчезает радиальное изменение функции распределения электронов (в случае малой роли межэлектронных взаимодействий). На рис. 2 приведено радиальное изменение относительной интенсивности



линии неона $\lambda=5852 \text{ \AA}$ при давлении неона $p=0.15$ тор и токе $i=20$ мА без магнитного поля и при включении магнитного поля напряженностью 500 Э. Как видно из оценок [5], этой величины напряженности магнитного поля достаточно для выполнения критерия локальности. Из рис. 2 видно, что переход к локальному режиму (включе-

Рис. 2. Радиальное изменение интенсивности линии $\lambda=5852 \text{ \AA}$ неона ($p=0.15$ тор, $i=20$ мА).

1 — в отсутствие продольного магнитного поля, 2 — при наложении продольного магнитного поля напряженностью 500 Э, 3 — бесселевский профиль.

ние магнитного поля) сопровождается более пологим спадом интенсивности линии по радиусу разрядной трубки, профиль которой становится близким к бесселевскому.

Таким образом, в разрядах низкого давления относительные интенсивности линий спадают по радиусу круче, чем концентрация электронов, что связано с уменьшением относительного числа быстрых электронов к стенке разрядной трубки, характерного для нелокального механизма формирования функций распределения электронов по энергиям.

Литература

- [1] I. B. Bernstein, T. Holstein. Phys. Rev., 94, 1475, 1954.
- [2] Л. Д. Цендин, Ю. Б. Голубовский. ЖТФ, 47, 1839, 1977.
- [3] H. Deutsch, S. Pfaū, S. Klagge. 12 Int. Conf. Phen. in Ioniz. Gases, Berlin, 1977.
- [4] J. Behnke. Beitr. Plasmaph., 6, 23, 1971.
- [5] Л. Д. Цендин. ЖТФ, 6, 162, 1978.

Поступило в Редакцию 29 июня 1978 г.

УДК 621.373 : 535.01

К ТЕОРИИ ЧАСТОТНОЙ НЕВЗАЙМОСТИ ВСТРЕЧНЫХ ВОЛН КОЛЬЦЕВОГО ГАЗОВОГО ЛАЗЕРА С ДИАФРАГМИРОВАННЫМ СФЕРИЧЕСКИМ ЗЕРКАЛОМ И ПРОСТРАНСТВЕННО НЕОДНОРОДНОЙ СРЕДОЙ

В. Ф. Бойцов

1. В практических приложениях кольцевых газовых лазеров важную роль играет разность частот генерации встречных волн $\delta\omega$, вызванная дифракцией на диафрагме, осуществляющей селекцию мод, и в среде с пространственно неоднородным в поперечном направлении коэффициентом усиления [1–7]. С применением капиллярных трубок последняя причина «дифракционной невзаимности» становится все более существенной, что приводит к необходимости одновременного учета обоих источников дифракции.

Известно, что дифракционная разность частот $\delta\omega$ возникает из-за различия пространственного распределения полей встречных волн и зависит от их деформации по отношению к пустому резонатору [5–8]. Для целого ряда реальных ситуаций различие полей определяется в первую очередь диафрагмой, а их деформация — совместным влиянием диафрагмы и пространственной неоднородности среды. В частности,

это имеет место для «короткой» трубки, когда ее длина l мала по сравнению с периметром L осевого контура резонатора. Ниже приводятся результаты расчета $\delta\omega$ именно в таком приближении для модели лазера с гауссовой диафрагмой и «квадратичной» усиливающей средой.

2. Рассмотрим кольцевой лазер с двумя плоскими и одним сферическим радиусом R зеркалами.¹ Введем прямоугольную систему координат с ортами (x , y , z) так, что z направлено по движению часовской стрелки вдоль оптической оси резонатора, x перпендикулярен ей и лежит в плоскости осевого контура. Начало отсчета z находится на сферическом зеркале.

Диафрагма D , помещенная на него, имеет коэффициент пропускания

$$T(x, y) = \exp\{-\gamma - (X^2 N_x + Y^2 N_y)\}; \quad X, Y = x, y \sqrt{\frac{k}{L}},$$

$$N_\tau = \frac{L}{ka_\tau^2} (\tau = x, y), \quad (1)$$

k — волновое число, a_x и a_y характеризуют «эффективные» полуширины диафрагмы по оси x или y . Круглой диафрагме на зеркале соответствует эллиптическая диафрагма, ортогональная оптической оси с отношением $N_y/N_x = \cos^2 \alpha_0$, где α_0 — угол между оптической осью и нормалью к сферическому зеркалу. Величину $[1 - \exp(-\gamma)]$ можно рассматривать как постоянный по зеркалу коэффициент пропускания.

Пусть среда P , центр сечения которой проходит через точку z_0 , обладает комплексным показателем преломления

$$n(x, y) = 1 + \frac{i\chi_2}{kl} [1 - (X^2 + Y^2) N_p], \quad N_p = \frac{L}{ka_p^2}, \quad (2)$$

где $2a_p$ характеризует «эффективный» диаметр лазерной трубки, χ_2 есть пороговое усиление пульевой моды, которое можно рассчитать с помощью собственных значений интегрального уравнения резонатора [8]. В случае малых потерь ($N_x, N_y, \gamma \ll 1$)

$$\chi_2 = \left(\frac{N_x}{\sqrt{1 - g_{0x}^2}} + \frac{N_y}{\sqrt{1 - g_{0y}^2}} + 2\gamma \right) \left[2 + N_p \left(\frac{p_{0x}^2(z'_0)}{\sqrt{1 - g_{0x}^2}} + \frac{p_{0y}^2(z'_0)}{\sqrt{1 - g_{0y}^2}} \right)^{-1} \right], \quad (3)$$

$$\left. \begin{aligned} g_{0x} &= \left(1 - \frac{1}{\cos \alpha_0} \right) + \frac{g_0}{\cos \alpha_0}, & g_{0y} &= (1 - \cos \alpha_0) + g_0 \cos \alpha_0, \\ g_0 &= 1 - \frac{L}{R}, & p_{0\tau}^2(z'_0) &= 1 - 2z'_0(1 - z'_0)(1 - g_{0\tau}), & z'_0 &= \frac{z_0}{L} (\tau = x, y). \end{aligned} \right\} \quad (4)$$

Параметр g_0 меняется в пределах $1 - 2 \cos \alpha_0 < g_0 < 1$.

Насыщение $\chi_2^{(3)}(x, y)$ активной среды P зададим в виде

$$\chi_2^{(3)}(x, y) = \chi_2^{(3)} \exp\{-(X^2 + Y^2) N_p\}. \quad (5)$$

3. Расчет разности частот $\delta\omega$ в выбранных приближениях проведен методом, изложенным в [6],

$$\delta\omega = \frac{c}{2L} \eta \chi_2 \Delta R(z'_0), \quad (6)$$

здесь c — скорость света, η — относительное превышение накачки над пороговой, функция $\Delta R(z'_0)$ имеет вид

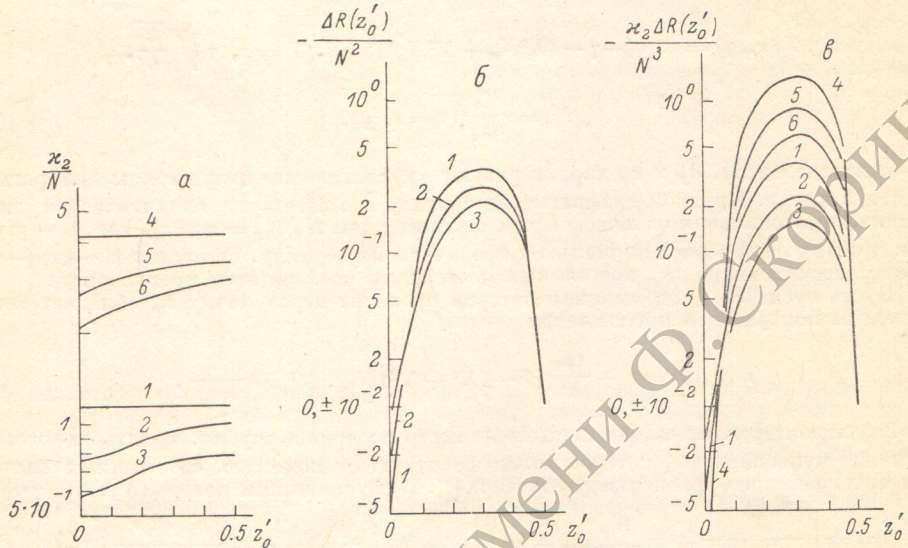
$$\Delta R(z'_0) = (2z'_0 - 1) \sum_{\tau=x, y} N_\tau^2 \left[g_{0\tau} p_{0\tau}^2(z'_0) \left(1 - \frac{\chi_2 N_p}{N_\tau} p_{0\tau}^2(z'_0) \right) + 2z'_0(1 - z'_0)(1 - g_{0\tau}^2) \right] \times \\ \times [\sqrt{1 - g_{0\tau}^2} p_{0\tau}^4(z'_0) (2\sqrt{1 - g_{0\tau}^2} + N_p p_{0\tau}^2(z'_0))^2]^{-1}. \quad (7)$$

Для щелевой диафрагмы по x в формулах (3) и (7) следует положить $N_x = L/ka^2 \cos^2 \alpha_0$, $N_y = 0$, а для диафрагмы на оси y $N_x = 0$, $N_y = L/ka^2$. В первом случае параметр g_0 меняется в пределах $1 - (2/\cos \alpha_0) < g_0 < 1$, а во втором $1 - 2\cos \alpha_0 < g_0 < 1$. Если в формуле (7) пренебречь членом $\chi_2 N_p p_{0\tau}^2(z'_0)/N$ по сравнению с единицей, то она переходит в уже известную из работы [8].

4. На рисунке, a — приведены результаты численных расчетов функций χ_2/N , $\Delta R(z_0)/N^2$ и $\chi_2 \Delta R(z'_0)/N^3$, выполненных с помощью формул (3) и (7). У кривых 1—3 $\gamma = 0$ и N_p принимает значения 0, 0.5, 1.0, у кривых 4—6 $\gamma = 0.03$, $N = 10^{-2}$ и N_p принимает значения 0, 0.5, 1.0. Параметр конфокальности резонатора $g_0 = 0$. Из рисунка, a видно, что пороговое усиление χ_2 растет с увеличением отношения эффективных по-

¹ Лазер с плоскими зеркалами из-за своих особенностей рассмотрен отдельно [9, 10].

перечных размеров среды к соответствующим размерам поля пустого резонатора. Зависимости $\Delta R(z'_0)/N^2$ от z'_0 (см. рисунок, б) имеют экстремальные значения вблизи $z'_0=0.3$ и в области малых z'_0 меняют знак. Численные значения функций, соответствующих кривым 4 и 1, отличаются друг от друга менее 1%, 5 и 2 — менее 10% и 6 и 3 — менее 20%. Зависимость величины, пропорциональной $\delta\omega$ (б) от изображенной на рисунке, в, интересна в нескольких отношениях: 1) в области больших частотных расщеплений ($0.1 < z'_0 < 0.4$) уменьшение эффективных поперечных размеров активной среды и уменьшение потерь на пропускание зеркал (γ) приводят к уменьшению $\delta\omega$; 2) при перемещении трубы в симметричную точку резонатора ($z'_0=0.5$) $\delta\omega$ быстро убывает, что приводит в некотором смысле к неустойчивости разностной частоты



лазера из-за разъюстировки среды; 3) менее выраженная, но аналогичная по характеру неустойчивость имеет место при помещении трубы около сферического зеркала резонатора.

Мне приятно поблагодарить Н. И. Калитеевского и И. Л. Берштейна за полезное обсуждение работы и ценные советы.

Литература

- [1] P. K. Cheo, G. V. Heeg. Appl. Opt., 3, 788, 1964.
- [2] A. Hetherington, G. I. Burgess, T. S. Moss. Infrared Phys., 9, 109, 1969.
- [3] И. А. Андронова, И. Л. Берштейн. ЖЭТФ, 57, 100, 1969.
- [4] А. Д. Валуев, С. А. Савранский, А. Ф. Савушкин, Б. А. Шокин. Опт. и спектр., 29, 410, 1970.
- [5] Э. Е. Фрадкин. Опт. и спектр., 31, 952, 1971; 32, 132, 1972.
- [6] В. Ф. Бойцов, Т. А. Мурина, Э. Е. Фрадкин. Опт. и спектр., 36, 539, 1974.
- [7] В. Ф. Бойцов. Тез докл. на I Всесоюзн. конф. «Оптика лазеров», с. 224, Л., 1977.
- [8] В. Ф. Бойцов. Опт. и спектр., 41, 864, 1976.
- [9] В. Ф. Бойцов. Опт. и спектр., 45, 118, 1978.
- [10] В. Ф. Бойцов. Опт. и спектр., 45, 408, 1978.

Поступило в Редакцию 23 ноября 1978 г.

УДК 539.186.2

ПЕРЕМЕШИВАНИЕ 6¹D₂- И 7¹P₁-УРОВНЕЙ Cd ЭЛЕКТРОНАМИ

C. B. Гордеев и M. K. Шевцов

Экспериментальные данные о вероятностях переходов между возбужденными уровнями атомов при столкновениях с электронами до последнего времени ограничивались сведениями о процессах с участием метастабильных атомов. Информация о пере-